

大成建設技術研究所

正会員 石原和男

## 1はじめに

温排水の拡散表面積を縮小する放流方式として、多孔管式放流が、検討、採用されつつある。

わが国では、温排水によって生じる流れが小型船舶へ与える影響を小さくするため、表面流速分布も規制されている。一方、多孔管式放流の温度の低減は、水中部near-fieldの周辺水連行に主に依存している。そのため、放流流速は大きい方が効果的である。この様に温度分布の低減と、流速分布の低減は、相反するものでありこれらの条件を満足する最適の形状を見出すには、多くの検討が必要と考えられる。

本研究は、同一流量の条件下で、T型多孔管の枝管の数を、すなわち放流流速を変えに場合の温排水の挙動について検討を加えたものである。

## 2検討条件

検討した温排水諸元及び地形条件を表-1に示す。

実験は、Froudeの相似則に従い、縮尺1/10の無歪模型を用いた。

多孔管は、図-1に示す様に、それぞれ枝管本数を7本と14本から構成されたものを検討した。

## 3実験装置及び方法

水槽は、長さ10m、幅5m、高さ0.5mの底面が水平な平面水槽を用いた。

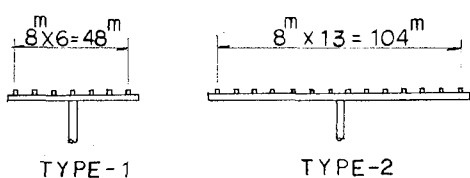
実験は、水槽内が一様静止温度場であることを確認した後、実際の放流を想定した $\Delta T_0 = 9.8 \sim 10^{\circ}\text{C}$ の温水を放流した。流量はフローターメーターにより測定した。表面温度は、60本のサーミスターにより、1秒/本の間隔で10分間スキャニした。また表面流速及び流況は、水槽全面に23枚の小紙片を浮かべ、 $\frac{X}{H} = \frac{Y}{H} = \frac{Z}{H} = \frac{1}{10}$ シャッタースピード1~3秒でカメラにより撮影し観察した。

## 4実験結果及び考察

10-

## (1)表面流況

写真-1に、放流してから2分30秒後の流況を示す。TYPE-1は、TYPE-2に比べ、放流フルード数が大きく、平面場の中心が放流口からより離れておりnear-fieldでの周辺水の連行がより行なわれていることが見られた。またTYPE-2では、平面場の中心は、放流口からさほど離れず、早くも、放流温水の再連行が行なわれていることが見られた。

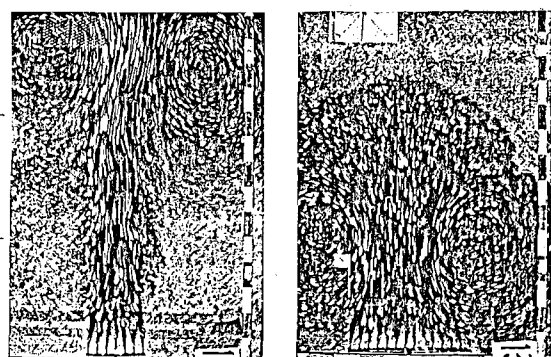


TYPE-1

TYPE-2

(枝管内径はすべて1m)

図-1 T型多孔管形状



TYPE-1

TYPE-2

(放流フルード数  $F_{01} = 33.0$  $F_{02} = 16.3$ )

$$F_0 = \frac{U_0}{\sqrt{\frac{P_0 - P_\infty}{P_0} \cdot g \cdot D}}$$

 $D = \text{枝管直径}$ 

写真-1 表面流況

## (2) 表面温度分布

図-2に放流後5分～10分の間の温度分布の時系列変化を示す。TYPE-1では、流れが判明した様に、near-fieldでの連行が長い区间で行なわれるため、流下方向に行くに従い、温度の低減率が良くなることがわかる。

TYPE-2では、放流直後から放流温水の再連行が行なわれているため温度の低減率が悪く、測定範囲内では、ほぼ一様に昇温し、時間が経過するに従い、温度が上昇していくことがわかる。

## (3) 軸上表面流速分布

図-3に  $Y/H = 0$  の断面の軸上表面流速分布を示す。速度分布とは逆に、TYPE-1では流速分布の低減率が悪く、測定範囲内では、現型の値で  $U_0 \approx 50 \text{ cm/sec}$  とかなり大きな流れが存在することがわかる。

TYPE-2では、流速分布の低減率が良く  $X/H = 22$  付近で現型で  $22.0 \text{ m}$  下流で  $U_0 \approx 20 \text{ cm/sec}$  と流速が低減することがわかる。

## まとめ

T型多孔管の段階の数を変化させ、温度分布、流速分布の測定を行なった。TYPE-1では、温度分布の低減は良いが、測定範囲内では、流速の低減はあまり見られないが、TYPE-2では、逆に、流速の低減は良いが、温度分布の低減が悪く、また放流直後から放流温水の再連行が行なわれる。以上からT型多孔管の最適形状は、TYPE-1、2の中間に存在すると考えられる。また、今後TYPE-1型では流速分布のTYPE-2型では温度分布の低減が測定出来るまでのより広範囲の測定が必要になると考えられる。

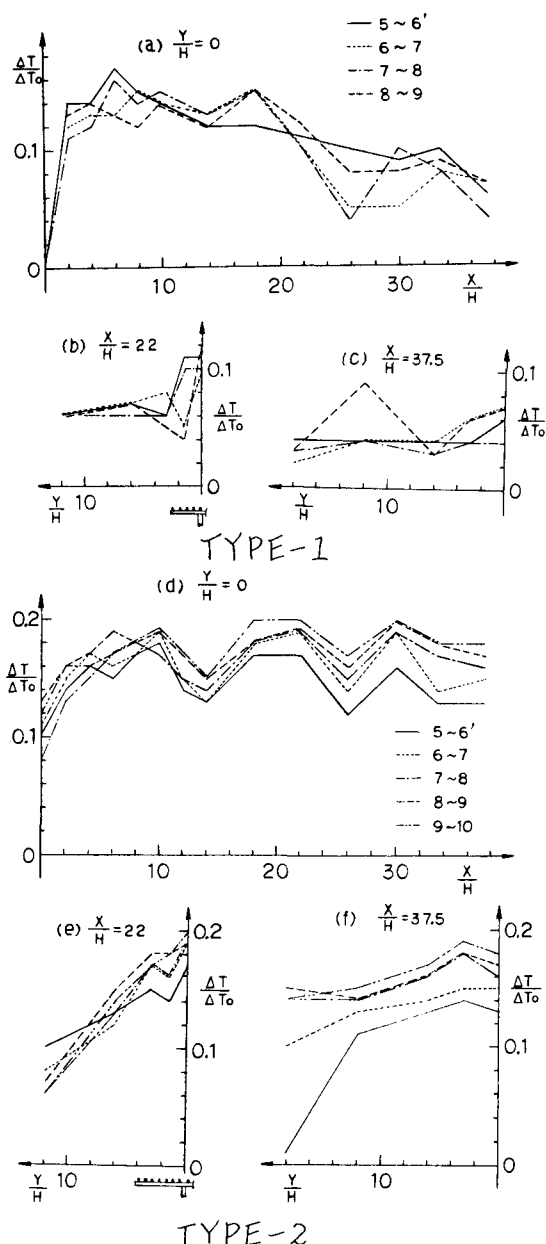


図-2 表面温度分布

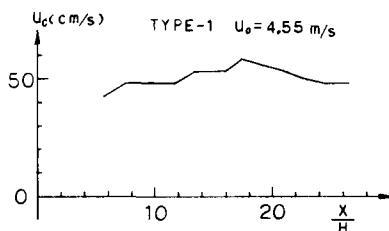


図-3 軸上表面流速分布